



## Status and plans of R&D for Si-detectors on BM@N

*N. Zamyatin on behalf of Forward Silicon Detector team*

## R&D for Si-detectors on BM@N

### 1. Design of new Si-station #5 for FSD:

- two planes with 11 pcs of Si-modules;
- active area of Si-modules (186×63)mm<sup>2</sup>;
- Number of FEE-channels (strips) of station - 128×10×22=28 160 ch;
- Contract # 100-03046 (26.07.2024), ZNTC-JINR for production 50 pcs of DSSD and 60 pcs of PA-640.

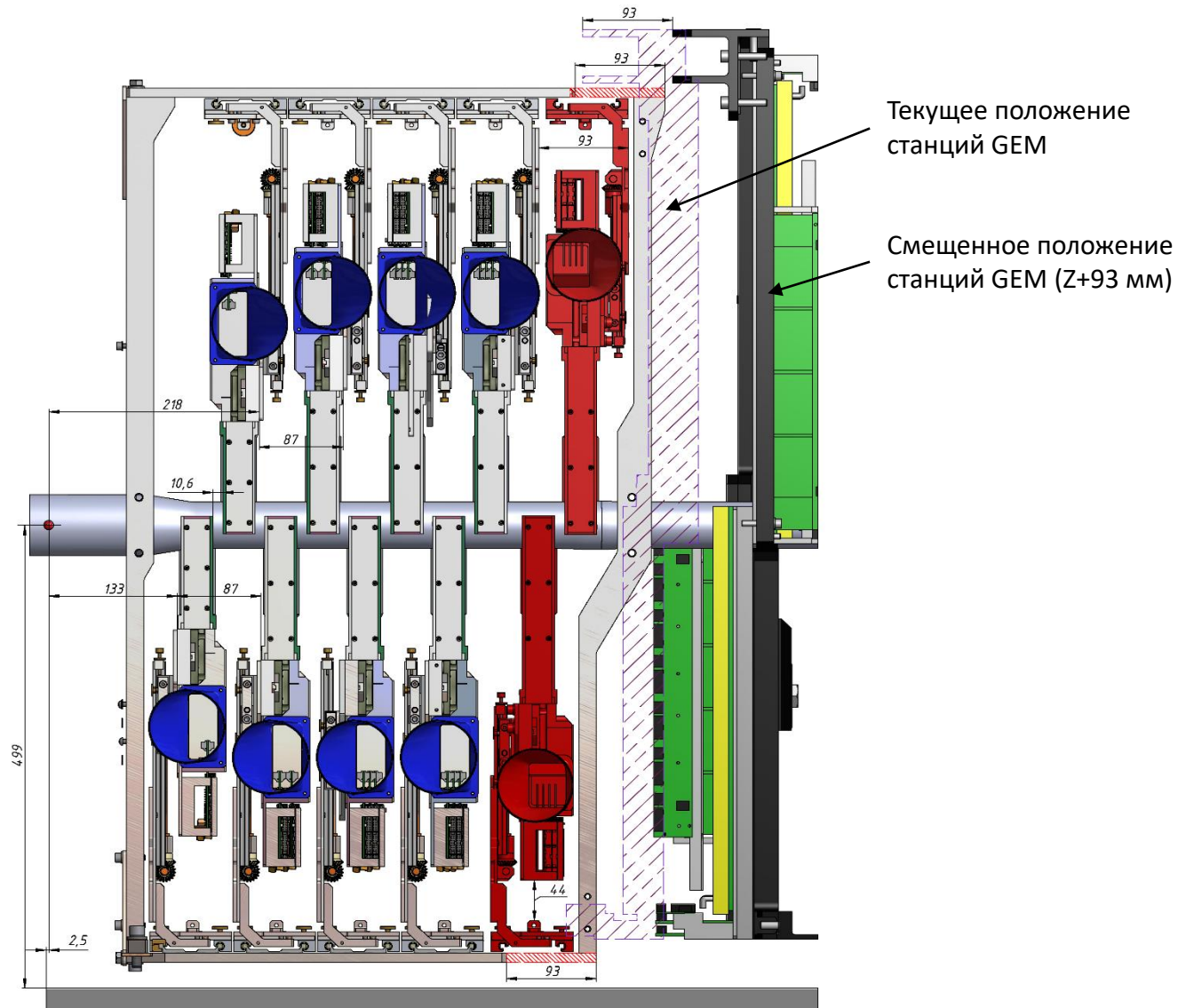
### 2. Design of ASIC-128 ch chip (*ASi-BM@N*) for FEE station#5 FSD:

- design and simulation of chip (2022-2023 years);
- GDS files for production experimental chips;
- Contract # 100-03185 (06.08.2024), INP BSU (Minsk) - JINR for production 3 wafers/2000 chips – in 2024-2025 years;

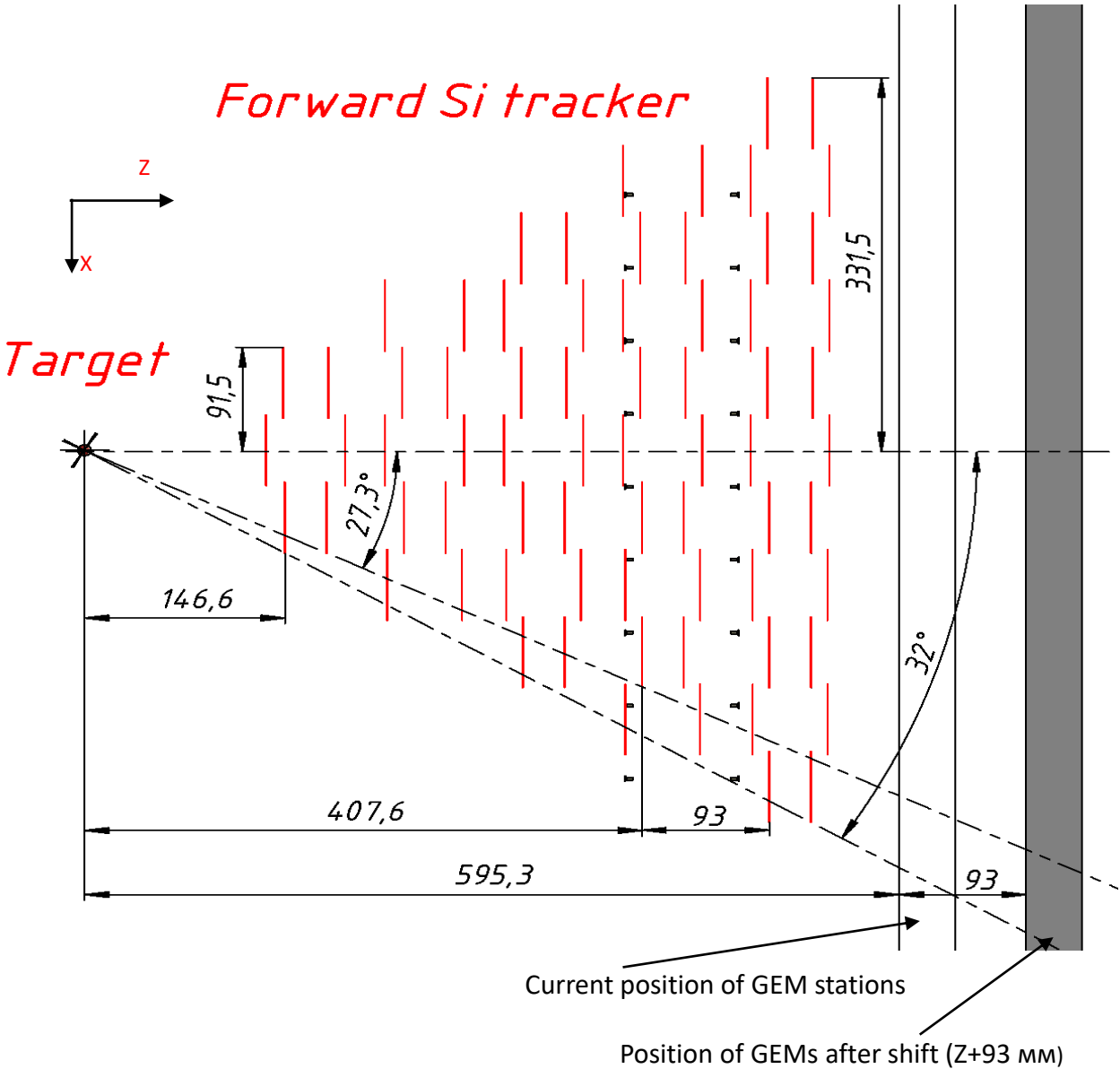
**3. Design of new beam profilometer** for heavy ions Xe(10.8 pC/175 μm-Si), Au (20.9 pC/175 μm-Si), Bi) with high dynamic range of ΔE-signals (240÷500 MeV/175 μm-Si).

**4. Experimental measurements of neutrons equivalent fluence (1 MeV) in FSD region (on outer surface beam-pipe and in region FEE-chips)**

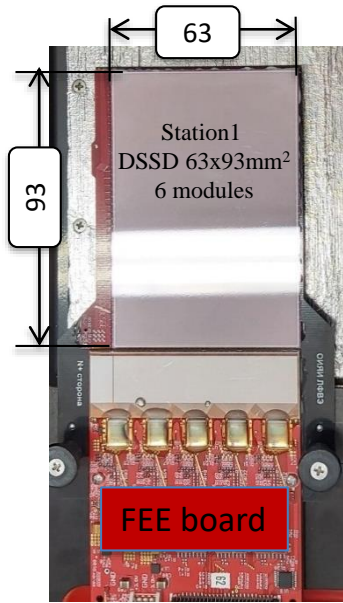
# 1. Position of the new FSD-station #5 on the BM@N



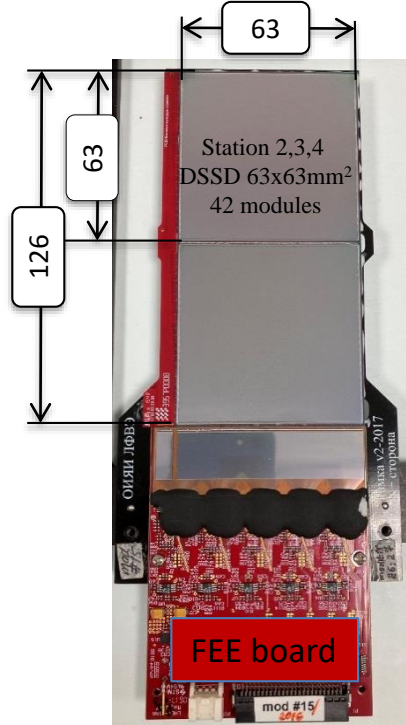
# X-Z cross section of central tracker



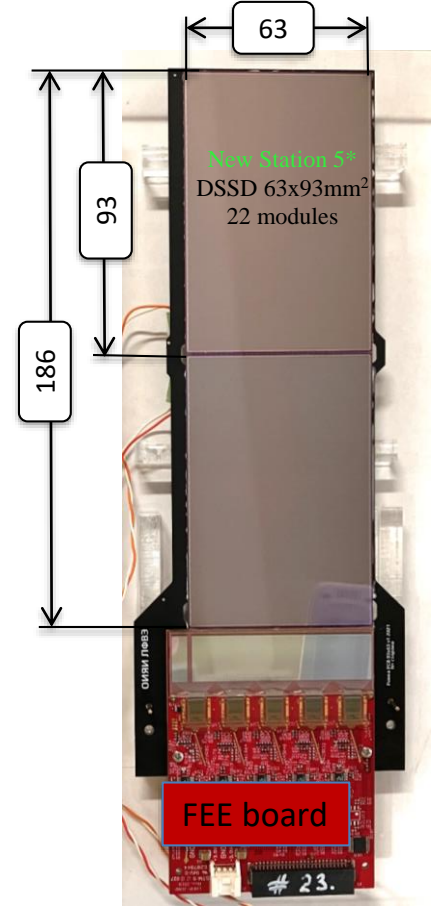
# Three type of Si-modules for Forward Si detector



Detectors size:  $63 \times 93 \times 0,3 \text{ mm}^3$  (on 6" – FZ-Si-n wafers)  
 Topology: double sided microstrip (DSSD) (DC coupling)  
 Pitch  $p^+$  strips:  $95 \text{ }\mu\text{m}$ ;  
 Pitch  $n^+$  strips  $107,1 \text{ }\mu\text{m}$ ;  
 Stereo angle between  $p^+/n^+$  strips:  $2.5^\circ$   
 Number of strips/DSSD:  $640 (p^+) \times 603 (n^+)$   
 Number of strips/module:  $640 (p^+) \times 640 (n^+)$

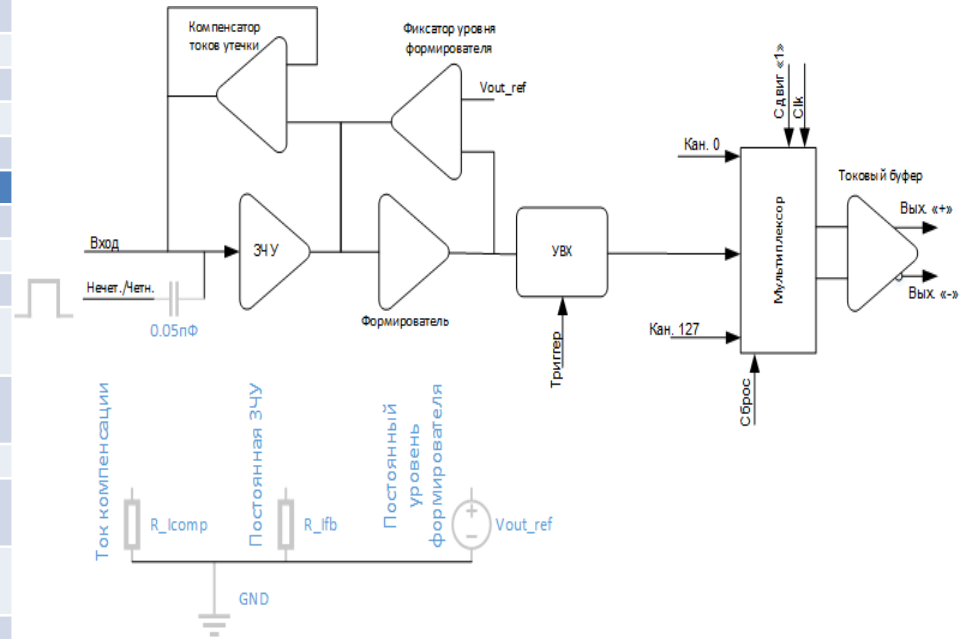


Detectors size:  $63 \times 63 \times 0,3 \text{ mm}^3$  (on 4" – FZ-Si-n wafers)  
 Topology: double sided microstrip (DSSD) (DC coupling)  
 Pitch  $p^+$  strips:  $95 \text{ }\mu\text{m}$ ;  
 Pitch  $n^+$  strips  $103 \text{ }\mu\text{m}$ ;  
 Stereo angle between  $p^+/n^+$  strips:  $2.5^\circ$   
 Number of strips/DSSD:  $640 (p^+) \times 614 (n^+)$   
 Number of strips/module:  $640 (p^+) \times 640 (n^+)$



## 2. Main parameters and block scheme of ASIC-128 ch/ASi-BM@N

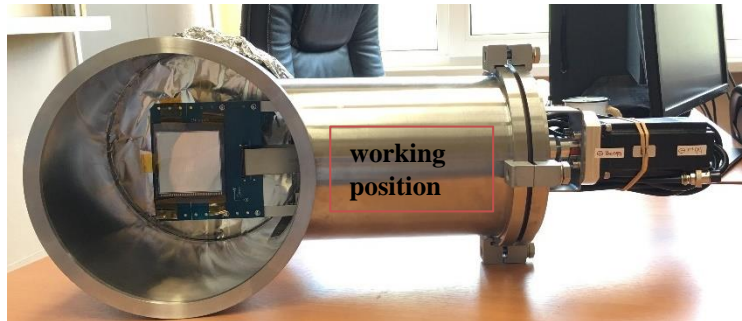
Параметры детектора	
Тип детектора	Кремниевый, стриповый, двухсторонний
Толщина кремниевого детектора	(200÷500) мкм
Сигнал детектора, т.і.р.	4 фКл/300 мкм
Напряжение смещения, В	До 100 В
Емкость стрипа, пФ	20÷100
Параметры ИС	
Технология	CMOS, 180нм
Количество каналов	128
Напряжение питания, В	1.8 (однополярное)
Ток потребления аналоговых блоков, мА	115
Ток потребления цифровых блоков, мА	12
Рассеиваемая мощность, мВт	229
Структура канала	ЗЧУ+Формирователь+СВХ+Мультиплексор
Защита по входам	Контактные площадки с защитными диодами
Компенсация токов утечки	До 5 нА, автоматическая, отключаемая
Тестирование	Нечетных и четных через встроенные конденсаторы ёмкостью 0.05 пФ
Тестовый канал	Контроль формы и амплитуды выходного
Время формирования, нс	300 и 200
Порядок формирователя	4
Линейный диапазон входных зарядов, фК	+/-30
Коэффициент преобразования аналогового выхода, мкА/фКл	20
ENC (r.m.s.), е	215e+11.6 е/пФ
Мультиплексор	128:1
Частота чтения данных, МГц	20
Выход мультиплексора	Токовый, дифференциальный
Цифровые сигналы управления	LVDS



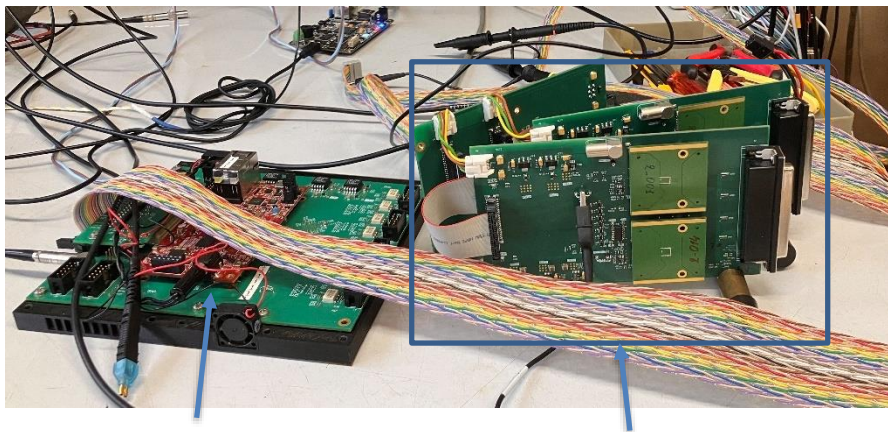
Переключатели:

- 1) Время формирования: «1» - 300 нс, «0» - 200 нс
- 2) Полярность сигнала: «1» - минус, «0» - плюс
- 3) Автоматическая компенсация токов утечки: «1» - включение
- 4) Автоматическая фиксация постоянного уровня формирователя: «1» - включение

### 3. New beam profilometer for heavy ions (Xe, Au, Bi) with Si-detector (64×64) strips



Beam profilometer inside beam vacuum station



Beam profilometer standalone DAQ

New readout electronics for beam profilometer

**Beam profilometer**  
is necessary for beam tuning in self trigger mode  
(alignment of the center beam with the center of the target)

- **detector:** DSSD, (128p<sup>+</sup>×128n<sup>+</sup>), strips pitch = 475 μm, thickness (Si) -175 μm, active area (61 × 61) mm<sup>2</sup>. Strips are combined in pairs on detector board. Total have (64p<sup>+</sup>×64n<sup>+</sup>), pitch = 950 μm
- **mechanical design:** the plane of the profilometer is automatically removed from the beam zone to the parking position
- **FEE** based on two VA32HDR11 ASICs. Total number of channels are 64 for X and 64 for Y coordinate. Dynamic range of signals: -35pC ÷ +25pC. Charge of ionization for heavy ions Xe(10.8 pC/175 μm-Si), Au (20.9 pC/175 μm-Si), Bi) corresponded of ΔE-signals (240÷500 MeV/175 μm-Si).  
Peaking time 800 ns.  
Self trigger mode based on TA32cg2 ASICs
- **current status:**  
FEE have been designed, manufactured, work in progress to electronics tests.  
Next step is testing FEE with Si detector placed in flanges with alpha-source (5.5 MeV) and standalone DAQ subsystem.

# 4. Radiation Si-monitors on FSD region for equivalent neutron fluence measurement

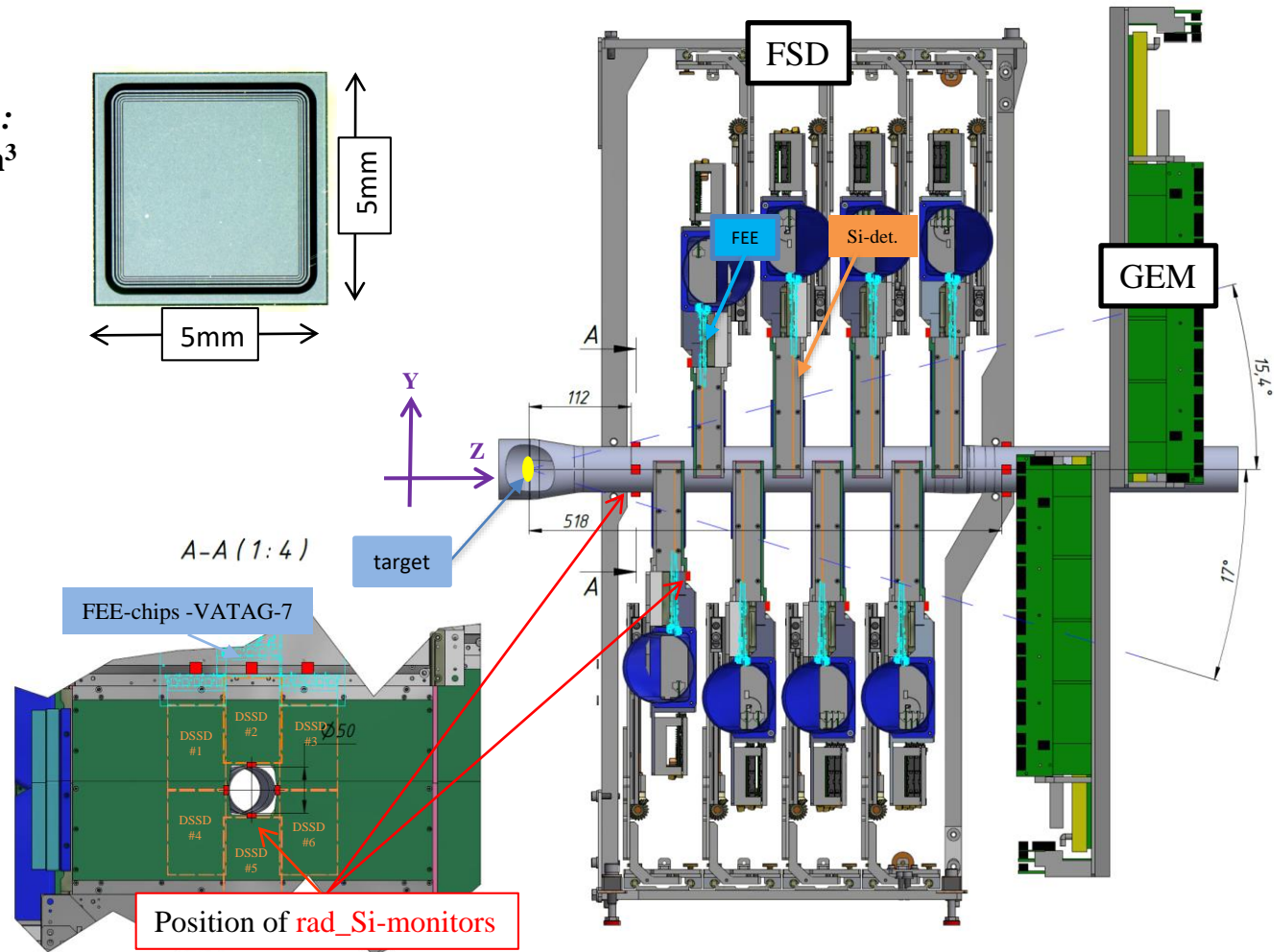
*Si-pin-detector (rad\_monitor) :*

- Detectors size:  $(5 \times 5 \times 0,3) \text{ mm}^3$
- Detectors thickness:  $300 \text{ }\mu\text{m}$
- Active area:  $13 \text{ mm}^2$

$$\Delta I = \alpha_1 \times V \times \Phi$$

$\Delta I = I_\phi - I_0$ , (A):

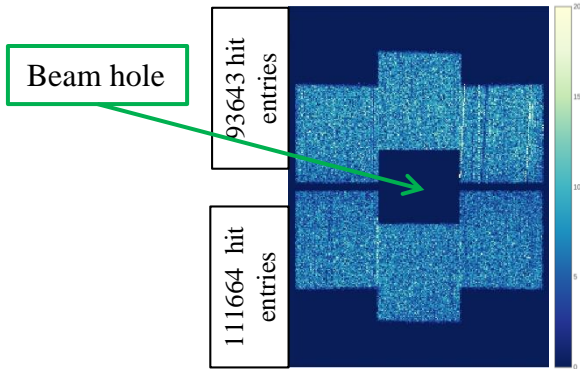
- $I_\phi$  – dark current after irradiation;
- $I_0$  - dark current before irradiation;
- $\alpha_1 = (5 \pm 0,5) \cdot 10^{-17} (\text{A} \times \text{cm}^{-1})$  – radiation damage constant-Si (for neutrons 1MeV at  $+20^\circ$ );
- $V$ , ( $\text{cm}^3$ ) – volume of SCR (space charge region at  $U_{fd}$ );
- $\Phi$ , ( $\text{cm}^{-2}$ ) – eq. neutron fluence (1 MeV)



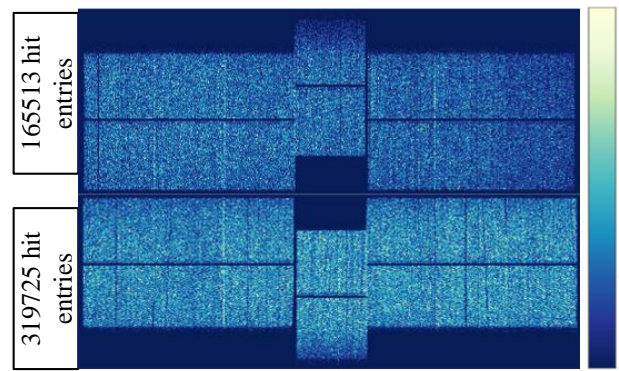
Приложение-1:  
(девять следующих слайдов)

# FSD: after replacing

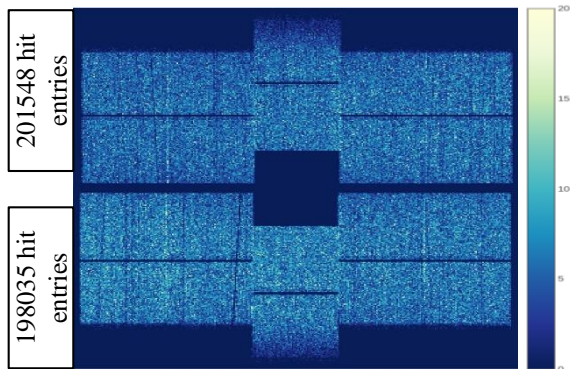
Cosmic tests station 1



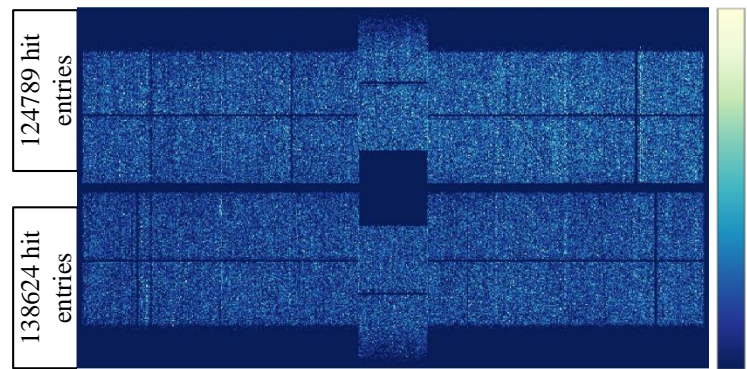
Cosmic tests station 3



Cosmic tests station 2



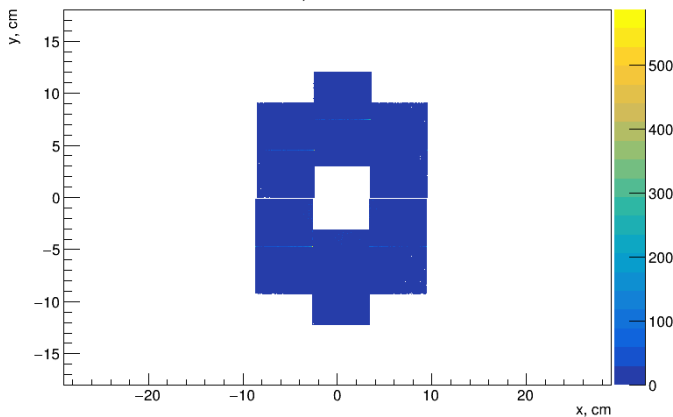
Cosmic tests station 4



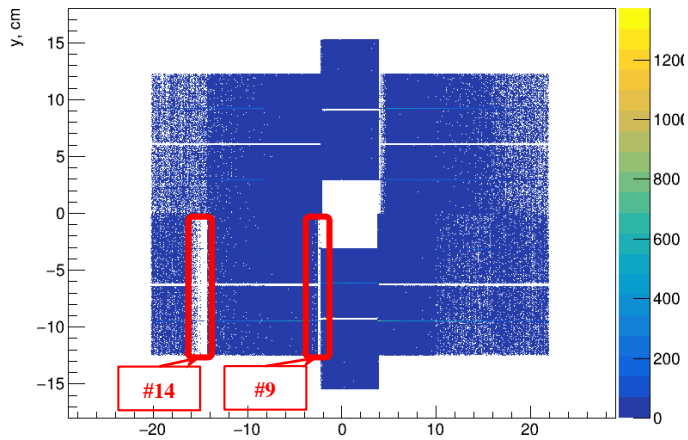
All dead zones have been eliminated!

## FSD: before replacing (Run 8305, 30.01.2023)

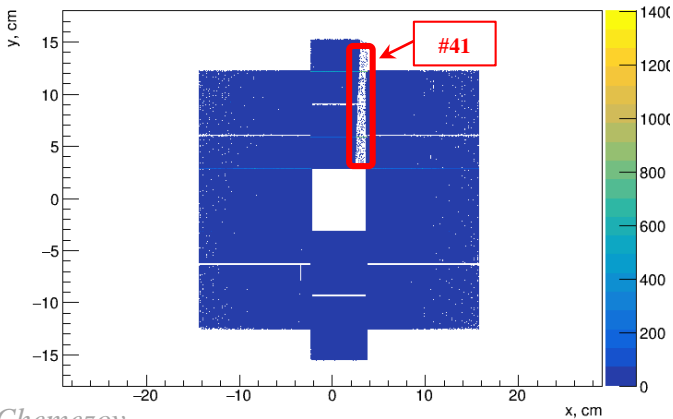
Hits on station 1  
6 modules, DSSD 63×93 mm<sup>2</sup>



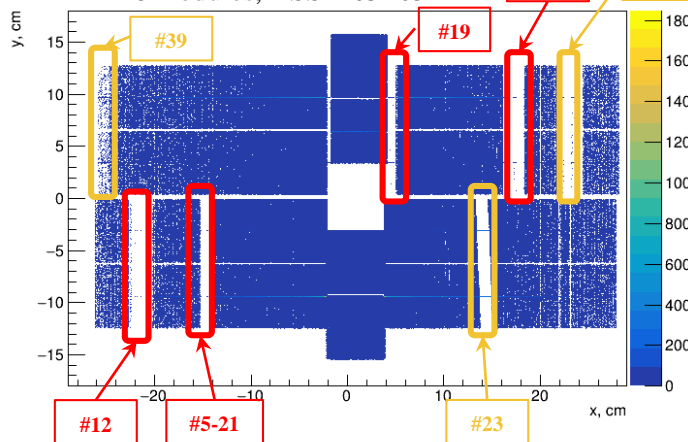
Hits on station 3  
14 modules, DSSD 63×63 mm<sup>2</sup>



Hits on station 2  
10 modules, DSSD 63×63 mm<sup>2</sup>



Hits on station 4  
18 modules, DSSD 63×63 mm<sup>2</sup>



Run	8305
Beam	Xe
Energy	3.8 GeV/n
Target	Csl (2%)

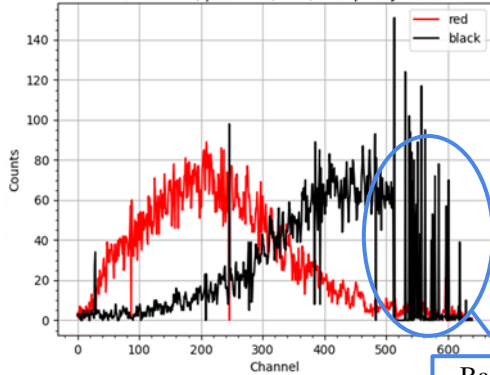
Summary:  
10 dead zones, 3 were discovered before the run and 7 occurred during the run

Module	Chip
#41	5Y
#14	5X
#9	5X
#39	1X
#19	5X
#13	4X, 5X
#17	4X, 5X
#12	4X, 5X
#5-21	5X
#23	4Y

# FEE board replacing

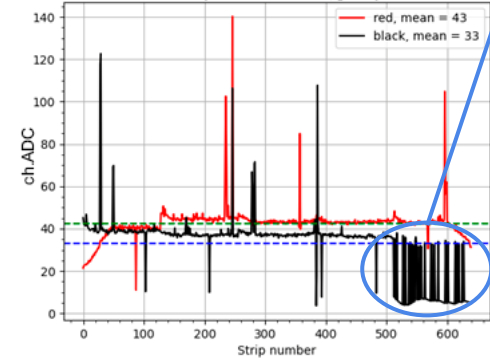
Mod #17

Module 17,  $\beta$ -source, 75V, occupancy

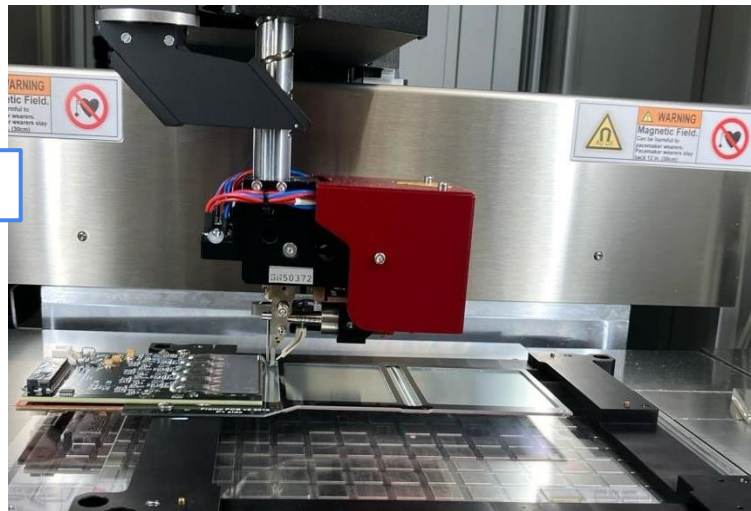
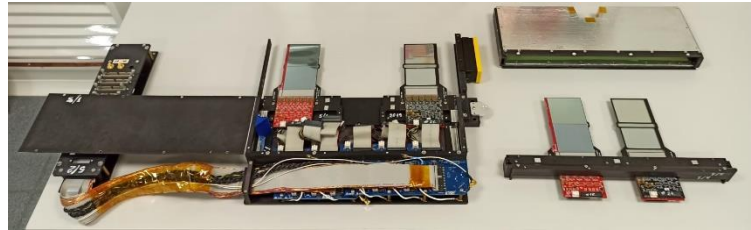


Bad zone  
Chip #5

Module 17,  $\beta$ -source, 75V, sigma pedestal



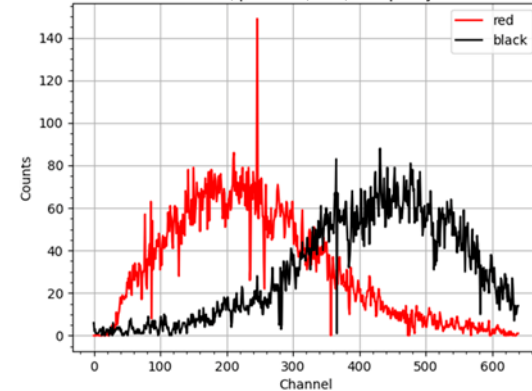
Before replacement



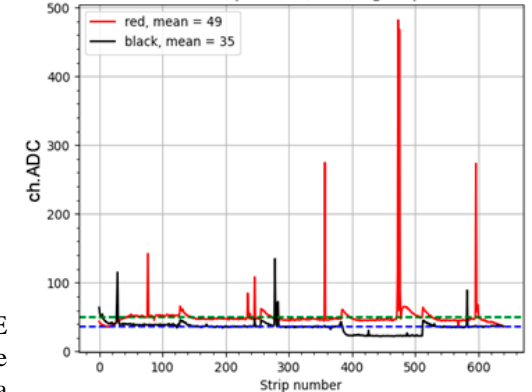
To eliminate the dead zones it was necessary to assemble a new FEE board completely, 5 ASICs were spent to eliminate each of defects. The old boards were disconnected from the modules and replaced with a new ones. Total: 9 new black boards (p+ strips) were built, 45 VATAGP 7.2 ASICs were used (30 spare ASICs available).

Mod #17

Module 17,  $\beta$ -source, 75V, occupancy



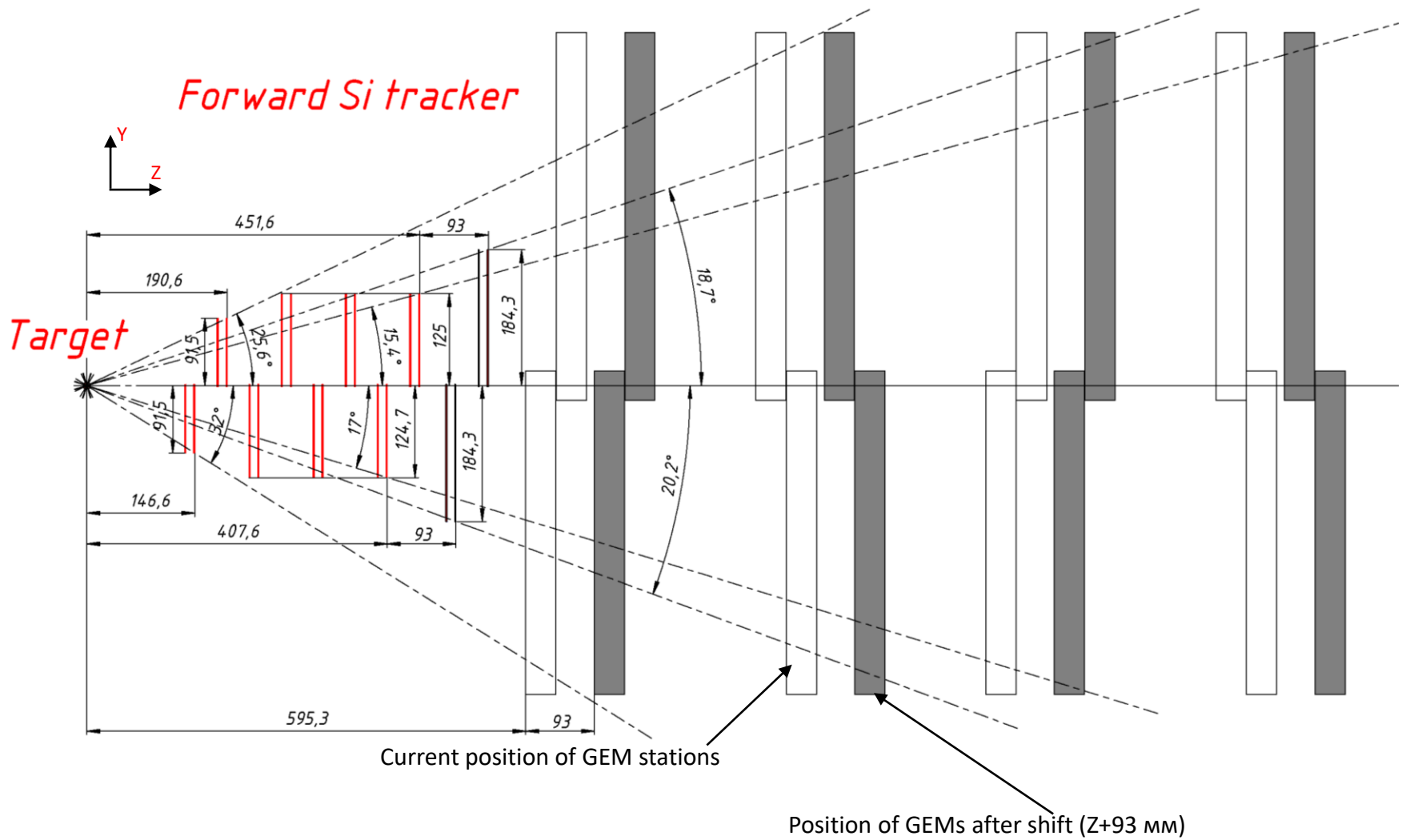
Module 17,  $\beta$ -source, 75V, sigma pedestal



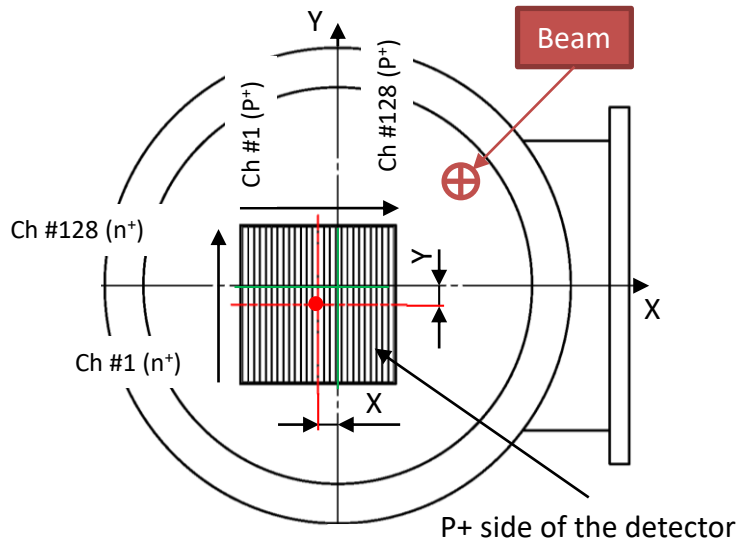
After replacement

# Y-Z cross section of central tracker

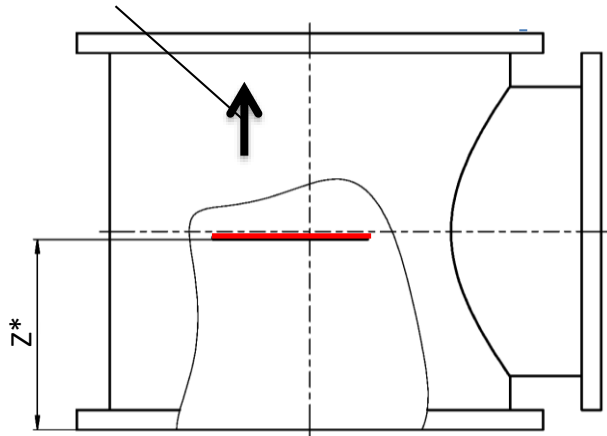
## GEM tracking system



# Position of double-coordinate Si-detectors relative to the axis of the ion guide



Beam directions



\*Distance between the flange surface and the detector surface.  
Detector rotation in the coordinate plane no more than  $0.5^\circ$

Beam tracker detector center coordinates relative to the ion guide axis (mm)

#	X	Y	Z*
#1	0.0	0.9	94.7
#2	2.7	-0.3	96.9
#3 (Al)	0.4	0.1	94.9

Strip pitch in the detector: 0.45 mm

Number of strips: 128x128

Thickness: 175  $\mu\text{m}$

Size: 63 x 63 mm<sup>2</sup>

Beam profilometer detector center coordinates relative to the ion guide axis (mm)

#	X	Y	Z*
#1 (electric)	$-1.3 \pm 0.1$	$0.7 \pm 0.1$	99.7
#2 (pneumatic)	$-2.7 \pm 0.5$	$1.4 \pm 0.2$	100.7

Strip pitch in the detector: 1.87 mm

Number of strips : 32x32

Thickness: 175  $\mu\text{m}$

Size: 60 x 60 mm<sup>2</sup>

## New beam profilometer (64×64) strips for heavy ions (Xe, Au, Bi)

На рис. результаты тестов-2022 с альфа источником Si – профилометра:

- такую же картину мы хотели получить при работе с пучком, но не удалось из-за наложений при «медленной» электронике (ИС-VA163);

- оба профилометра были убраны в положение «парковка» и не использовались в сеансе;

- наши планы и действия – ведется новая разработка (С.Хабаров+О.Тарасов)

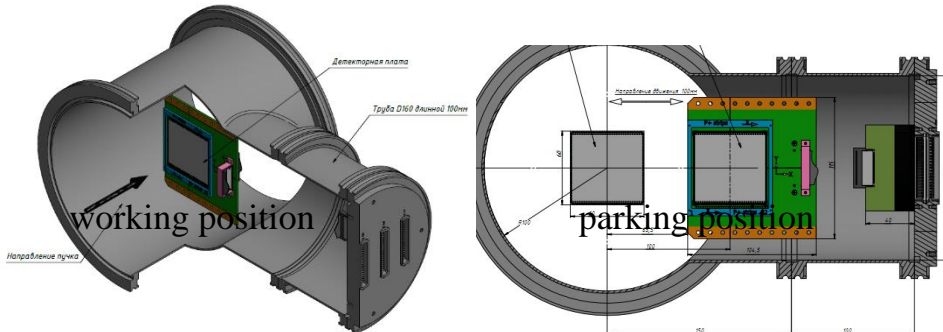
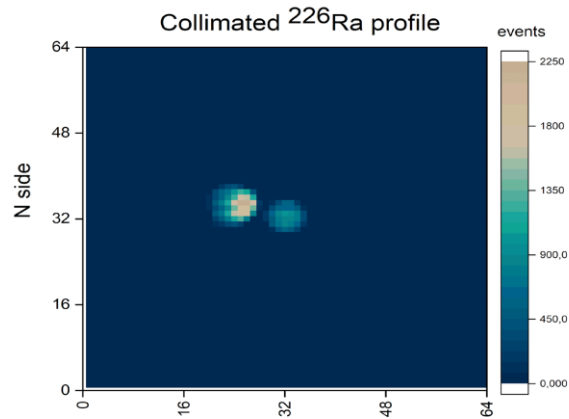
конструкции плоскости детектора (128x128) стрипов превращаем в (64x64) стрипа +

новая FEE на основе ИС HDR64/VA, чипы есть в наличии, детекторные платы

разработаны, изготовлены и готовы к сборке детекторов, FEE-PCB в разработке

(С.Хабаров), детекторы есть и тестируются (Е.Стрелецкая+Ю.Копылов), готовность –

осень\_23.



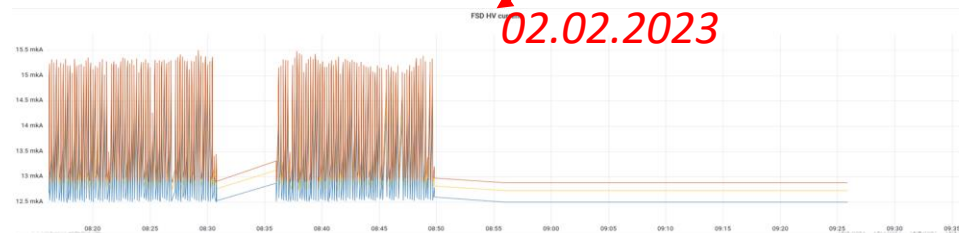
- **detector:** DSSD, (32p<sup>+</sup>×32n<sup>+</sup>), strips pitch = 1.8 mm, thickness (Si) -175 μm, active area (60 × 60) mm<sup>2</sup>;
- **mechanical design:** the plane of the profilometer is automatically removed from the beam zone to the parking position;
- **FEE:** for light ( ${}^6\text{C} \div {}^{18}\text{Ar}$ ) ions based on **VA163 + TA32cg2 (32 ch, dynamic range (DR): -750fC ÷ +750fC)** desing in progress;
- **current status:**
  - two vacuum stations with flanges and cable connectors are ready, Silicon Detectors assembled on PCBs and tested with alpha-source (5.5 MeV), autonomus (ADC+DAQ) subsystem ready;
  - for heavy (Kr ÷ Au) ions will be developed another version of the FEE with DR = ± 20 pC.

FSD HV current



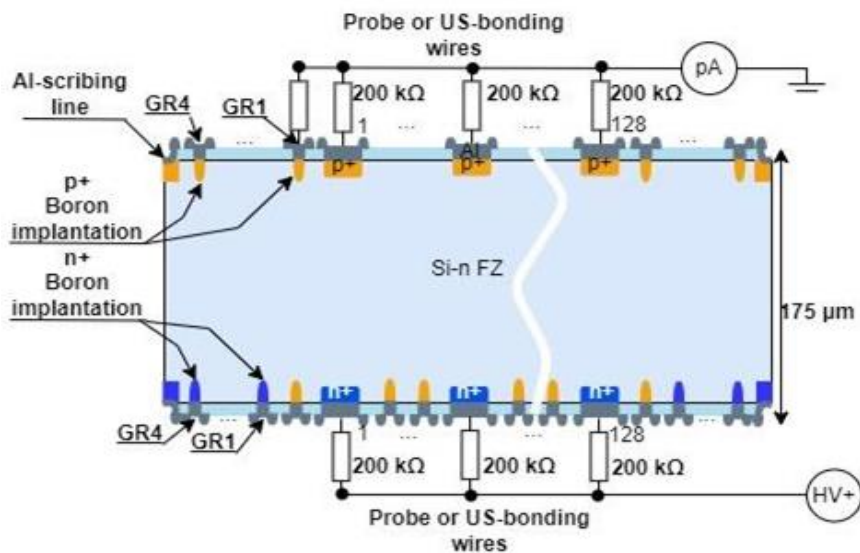
Начало сеанса- 06.12.2022

02.02.2023

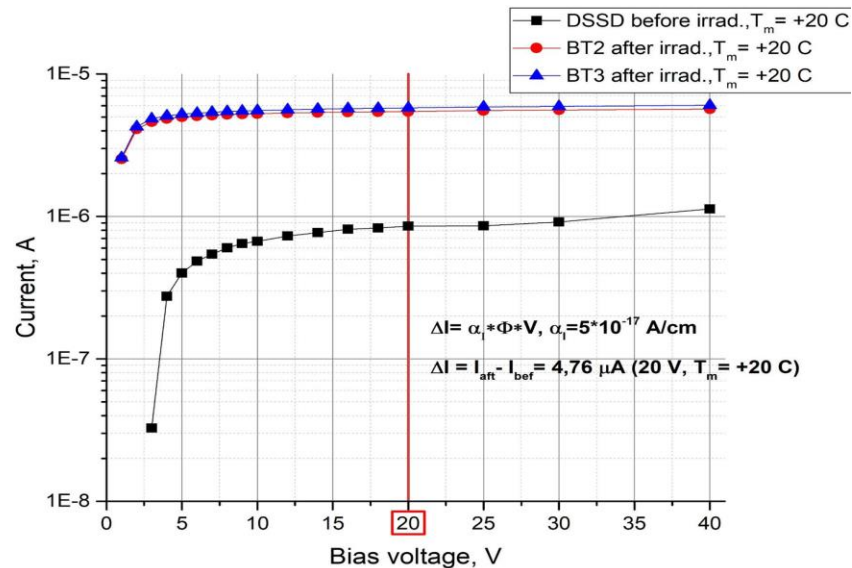


**Токи детекторов ВТ(1÷3) в начале сеанса и по окончании сеанса:**

- «подложка» это темновой ток, создаваемый радиационными дефектами ионов Хе;
- быстрая импульсная компонента это ток ионизации в течение спиллов.



(a)



(б)

Рис.5. Схема измерений (а) темнового тока двухстороннего стрипового Si-детектора и ВАХ (б) до и после сеанса.

Формула определения эквивалентного 1МэВ флюенса нейтронов по повреждениям кремния  $\Delta I = \alpha_1 \cdot \Phi \cdot V$

где:  $\alpha_1$  – токовая константа повреждений кремния равняется  $5 \times 10^{-17}$  А/см, при  $+20^\circ\text{C}$  для нейтронов с энергией 1 МэВ и физически означает приращение тока в кремниевом детекторе объемом  $1\text{см}^3$  от прохождения одного нейтрона (1 МэВ),  $\Phi, \text{см}^{-2}$  – флюенс нейтронов,  $V, \text{см}^3$  – объем детектора.

	$I_{d0}$ , мкА/+20 В/+22.5°C (04.12.2022 начало сеанса)	$I_{d(\phi)}$ , мкА/+20 В/+26.8°C (2.02.2023 окончание сеанса)	$\Delta I = I_{d(\phi)} - I_{d0} = \alpha I \cdot \Phi \cdot V$ , мкА (приведённое к +20 °C)
BT1	0.965	12.7	4.76
BT2	0.692	12.5	4.6
BT3	0.626	12.9	4.93
	<b>Эквивалентный флюенс нейтронов 1 МэВ, см<sup>-2</sup> (измерен по радиационным повреждениям Si)</b>	<b>Флюенс <sup>128</sup>Xe, см<sup>-2</sup> расчет через NIEL, <math>K(^{128}\text{Xe}/\text{нейтрон}</math> <math>1\text{МэВ})=276</math></b>	<b>Число ядер <sup>128</sup>Xe, прошедших за сеанс через Si-детекторы BT(1÷3), <math>S_a=37\text{ см}^2</math></b>
BT1	5.117e+12	1.854e+10	6.899e+11
BT2	4.945e+12	1.792e+10	6.667e+11
BT3	5.300e+12	1.920e+10	7.145e+11
<b>Среднее</b>	<b>5.117e+12</b>	<b>1.854e+10</b>	<b>6.899e+11</b>